



МОСКОВСКИЙ ГОСУДАРСТВЕННЫЙ УНИВЕРСИТЕТ ИМЕНИ М. В. ЛОМОНОСОВА  
Факультет вычислительной математики и кибернетики  
Кафедра системного анализа

Отчёт по практикуму

**«Нелинейная задача оптимального управления»**  
**«Задача распределения капиталовложений»**

*Студент 315 группы*  
А. А. Анашкина

*Руководитель практикума*  
к.ф.-м.н., доцент П. А. Точилин

## 1 Постановка задачи

Рассматривается модель производства одной группы товаров. Через  $L$  обозначен объём доступных трудовых ресурсов, через  $K$  — объём производственных фондов. Производственная функция  $F(K, L)$  описывает связь используемых ресурсов и объёма выпускаемой продукции:  $Y = F(K, L)$  — объём продукции. Считается, что объём трудовых ресурсов постоянен, а производственные фонды могут изменяться, в том числе за счёт использования продукции. Обозначим через  $c$  объём потребления продукции, а через  $P$  — объём загрязнений, отходов производства. Отходы производства убывают как за счёт естественных механизмов, так и за счёт борьбы с загрязнениями, на которую отводится часть произведённой продукции. Уравнения, описывающие функционирование системы, имеют вид:

$$\begin{aligned}c &= u_1 F(K, L), \\ \dot{K} &= (1 - u_1 - u_2) F(K, L) - \mu K, \\ \dot{P} &= (\epsilon - \delta u_2) F(K, L) - \gamma P.\end{aligned}$$

Здесь  $\mu > 0$  — коэффициент амортизации основного капитала,  $\epsilon > 0$  — доля объёма загрязнений относительно объёма производства,  $\delta > 1$  — коэффициент уменьшения загрязнений за счёт затрат продукции,  $\gamma > 0$  — коэффициент естественной убыли загрязнений,  $u_1 = u_1(t) \in [0, 1]$  — доля продукции, выделяемая на потребление,  $u_2 = u_2(t) \in [0, 1]$  — доля продукции, выделяемая на борьбу с загрязнениями. На значения управляющих параметров  $u_1$  и  $u_2$  наложено ограничение:  $u_1(t) + u_2(t) \leq 1$ . Кроме того, задана некоторая функция полезности  $U(c, P)$ , оценивающая пользу от текущего уровня потребления и текущего уровня загрязнения окружающей среды.

Начальный и конечный моменты времени фиксированы:  $t_0 = 0, t_1 = T$ . Необходимо решить задачу управления — распределения капиталовложений с целью максимизации совокупной пользы:

$$\int_{t_0}^{t_1} U(c, P) e^{-rt} dt \rightarrow \max_{u(\cdot)}.$$

Здесь  $r > 0$  — коэффициент дисконтирования.

Производственная функция имеет следующий вид:

$$F(K, L) = K^\lambda L^{1-\lambda}, \quad \lambda \in (0, 1).$$

Функция полезности имеет следующий вид:

$$U(c, P) = C - Ae^{-\alpha c} + Be^{-\beta P}.$$

Здесь  $A, B, C, \alpha, \beta$  — положительные константы,  $\alpha < 1, \beta > 1$ .

В рамках данного задания необходимо численно решить задачу оптимального управления для нелинейной системы дифференциальных уравнений. В качестве основного инструмента должен быть использован принцип максимума Л. С. Понтрягина. Также необходимо написать программу в среде MatLab, обладающую минимальным пользовательским интерфейсом, позволяющим ввести все параметры системы ОДУ, а также параметры численного метода. Она должна корректно определять, разрешима ли задача, и если разрешима, то должно быть выведено приближённое оптимальное значение функционала качества  $\mathcal{J}(u)$ . Программа должна иметь возможность отображать все необходимые пользователю графики.

## 2 Теория, необходимая для решения задачи

### 2.1 Принцип максимума Л. С. Понтрягина

Рассмотрим следующую задачу оптимального управления:

$$\dot{x}(t) = f(x, u).$$

Здесь  $x = (x_1, \dots, x_n)^T$ ,  $f = (f_1, \dots, f_n)^T$ . Функция  $f$  является непрерывной по обеим переменным и непрерывно дифференцируемой по  $x$ .

$$u = (u_1, \dots, u_m)^T, \quad u(t) \in \mathcal{P},$$

где  $\mathcal{P}$  — замкнутое множество.

$$x(t_0) = x^0 \in \mathcal{X}^0, \quad x(t_1) = x^1 \in \mathcal{X}^1.$$

В нашей задаче  $t_0, t_1, x^0$  — фиксированы.

Рассмотрим также интегральный функционал:

$$\mathcal{J} = \int_{t_0}^{t_1} f_0(x, u) dt \rightarrow \inf_{u(\cdot)}.$$

Введём дополнительные координаты  $x_0, x_{n+1}$ :

$$\begin{aligned} x_0(t) &= \int_{t_0}^t f_0(x, u) dt, \\ x_{n+1} &= t. \end{aligned}$$

Тогда нетрудно заметить, что

$$\begin{cases} \dot{x}_0(t) = f_0(x, u), \\ x_0(t_0) = 0. \end{cases} \quad (1)$$

$$\begin{cases} \dot{x}_{n+1} = 1, \\ x_{n+1}(t_0) = t_0. \end{cases} \quad (2)$$

Теперь будем рассматривать расширенную систему:

$$\dot{\bar{x}}(t) = \bar{f}(x, u),$$

где  $\bar{x} = (x_0, x_1, \dots, x_n, x_{n+1})^T$ ,  $\bar{f} = (f_0, f_1, \dots, f_n, 1)^T$ .

Введём векторы сопряжённых переменных:

$$\begin{aligned} \psi &= (\psi_1, \dots, \psi_n)^T, \\ \bar{\psi} &= (\psi_0, \psi_1, \dots, \psi_n, \psi_{n+1})^T. \end{aligned}$$

Рассмотрим функции Гамильтона—Понтрягина:

$$\begin{aligned} \tilde{\mathcal{H}} &= \psi_0 f_0 + \langle \psi, f \rangle, \\ \bar{\mathcal{H}}(\bar{x}, \bar{\psi}, u) &= \langle \bar{\psi}, \bar{f} \rangle. \end{aligned}$$

Заметим, что для  $\bar{\mathcal{H}}$  справедлива гамильтонова система:

$$\begin{cases} \dot{\bar{x}} = \frac{\partial \bar{\mathcal{H}}}{\partial \bar{\psi}} = \bar{f}(x, u), \\ \dot{\bar{\psi}} = -\frac{\partial \bar{\mathcal{H}}}{\partial \bar{x}}. \end{cases} \quad (3)$$

Также введём обозначение:

$$\bar{\mathcal{M}} = \sup_{u \in \mathcal{P}} \bar{\mathcal{H}}(t, \bar{x}, \bar{\psi}, u)$$

Теперь можем сформулировать основную теорему.

**Теорема 1** (ПМП). Пусть  $(x^*(\cdot), u^*(\cdot))$  — оптимальная пара на  $[t_0, t_1]$ , тогда существует вектор сопряжённых переменных  $\bar{\psi}: [t_0, t_1] \rightarrow \mathbb{R}^{n+2}$  такой, что  $\bar{\psi} \neq 0$  ( $\bar{\psi} \neq 0$ ), и выполняются следующие условия:

Сопряжённая система:

$$\begin{cases} \frac{d\psi_0^*}{dt} = 0, \\ \frac{d\psi^*}{dt} = -\frac{\partial \tilde{\mathcal{H}}}{\partial x} \Big|_{\substack{x(\cdot) = x^*(\cdot), \\ u(\cdot) = u^*(\cdot), \\ \psi(\cdot) = \psi^*(\cdot)}}, \\ \frac{d\psi_{n+1}^*}{dt} = -\frac{\partial \tilde{\mathcal{H}}}{\partial t} \Big|_{\substack{x(\cdot) = x^*(\cdot), \\ u(\cdot) = u^*(\cdot), \\ \psi(\cdot) = \psi^*(\cdot)}}. \end{cases} \quad (4)$$

Условие максимума:

$$\bar{\mathcal{H}}(t, \bar{\psi}^*(t), \bar{x}^*(t), u^*(t)) = \sup_{u \in \mathcal{P}} \bar{\mathcal{H}}(t, \bar{\psi}^*(t), \bar{x}^*(t), u(t)) = \bar{\mathcal{M}}(t, \bar{\psi}^*(t), \bar{x}^*(t)). \quad (5)$$

Условие на гамильтониан:

$$\bar{\mathcal{M}} \equiv \text{const}. \quad (6)$$

Условие на некоторые компоненты вектора сопряжённых переменных:

$$\psi_0^* \equiv \text{const} \leq 0, \quad \psi_{n+1}^* \equiv \text{const}. \quad (7)$$

Условия трансверсальности:

$$\psi^*(t_0) \perp T_{x^*(t_0)} \mathcal{X}^0, \quad (8)$$

$$\psi^*(t_1) \perp T_{x^*(t_1)} \mathcal{X}^1. \quad (9)$$

Здесь  $T_{x^i} \mathcal{X}^i$  — касательная гиперплоскость ко множеству  $\mathcal{X}^i$  в точке  $x^i$ .

## 2.2 Правило множителей Лагранжа

Рассмотрим следующий класс задач:

$$\mathcal{J}(u) \rightarrow \inf, \quad u \in U \subset L, \quad (10)$$

$$U = \{u \in U_0 \mid g_1(u) \leq 0, \dots, g_m(u) \leq 0\}. \quad (11)$$

Здесь  $L$  — произвольное линейное пространство любой размерности, даже необязательно топологическое. Предполагается выполненным следующее основное предположение выпуклости:

**Предположение 1.**  $\mathcal{J}(u), g_1(u), \dots, g_m(u)$  — выпуклые функции,  $U_0$  — выпуклое множество.

Введём функцию Лагранжа:

$$L(u, \lambda) = \lambda_0 \mathcal{J}(u) + \sum_{i=1}^m \lambda_i g_i(u), \quad u \in U_0, \lambda \in \mathbb{R}_+^{m+1}$$

Введём обозначение:

$$\mathcal{J}_* = \inf_{u \in U} \mathcal{J}(u)$$

**Определение 1.**  $U_* = \{v \in U \mid \mathcal{J}(v) = \mathcal{J}_*\}$  — множество всех оптимальных решений.

Тогда пусть  $u_* \in U_*$  — один из оптимальных элементов.

Сформулируем теорему, содержащую необходимые и достаточные условия оптимальности элемента  $u_*$  в задаче 10 – 11.

**Теорема 2** (Правило множителей Лагранжа для выпуклых задач). Пусть задача 10 – 11 выпукла в смысле Предположения 1. Тогда если  $u_* \in U_*$ , то необходимо существует набор множителей Лагранжа  $\lambda^* \neq 0$ , для которого выполняются:

Принцип минимума:

$$\min_{u \in U_0} L(u, \lambda^*) = L(u_*, \lambda^*). \quad (12)$$

Неотрицательность множителей:

$$\lambda_i^* \geq 0, \quad i = 0, 1, \dots, m. \quad (13)$$

Условия дополняющей нежёсткости:

$$\lambda_i^* g_i(u_*) = 0, \quad i = 0, 1, \dots, m. \quad (14)$$

Обратно, если для некоторой пары  $(u_*, \lambda^*)$  выполняются условия 12 – 14, причём  $u_* \in U$ , а  $\lambda_0^* \neq 0$ , то  $u_* \in U_*$ , то есть элемент  $u_*$  является оптимальным решением задачи 10 – 11.

### 3 Аналитическое решение задачи

Рассматриваемая нами задача имеет вид:

$$\begin{cases} \dot{K} = (1 - u_1 - u_2) F(K, L) - \mu K, \\ \dot{P} = (\epsilon - \delta u_2) F(K, L) - \gamma P, \\ \mathcal{J} = \int_{t_0}^{t_1} U(c, P) e^{-rt} dt \rightarrow \max_{u(\cdot)}. \end{cases} \quad (15)$$

Здесь  $t_0 = 0$ ,  $t_1 = T$ ,  $K(0) = K^0$ ,  $P(0) = P^0$  — фиксированны.

Запишем функцию Гамильтона—Понтрягина:

$$\mathcal{H} = -\psi_0 U(c, P) e^{-rt} + \psi_1 (1 - u_1 - u_2) F(K, L) - \psi_1 \mu K + \psi_2 (\epsilon - \delta u_2) F(K, L) - \psi_2 \gamma P.$$

Теперь можем записать сопряжённую систему:

$$\begin{cases} \dot{\psi}_0 = 0, \\ \dot{\psi}_1 = -\frac{\partial \mathcal{H}}{\partial K} = \psi_0 \alpha A u_1 e^{-\alpha u_1 F(K, L) - rt} \frac{\partial F(K, L)}{\partial K} - \psi_1 (1 - u_1 - u_2) \frac{\partial F(K, L)}{\partial K} + \psi_1 \mu - \psi_2 (\epsilon - \delta u_2) \frac{\partial F(K, L)}{\partial K}, \\ \dot{\psi}_2 = -\frac{\partial \mathcal{H}}{\partial P} = -\psi_0 \beta B e^{-\beta P - rt} + \psi_2 \gamma. \end{cases} \quad (16)$$

Введём обозначение:

$$F = F(K, L), \quad \frac{\partial \mathcal{F}}{\partial K} = F_K$$

Преобразуем функцию  $\mathcal{H}$ :

$$\mathcal{H} = e^{-rt} [-\psi_0 U(c, P) + \psi_1 e^{rt} ((1 - u_1 - u_2) F - \mu K) + \psi_2 e^{rt} ((\epsilon - \delta u_2) F - \gamma P)].$$

Отсюда сразу видим замену переменных:

$$\eta_0 = \psi_0,$$

$$\eta_i = e^{rt} \psi_i, \quad i = 1, 2.$$

Тогда получим:

$$\mathcal{H} = e^{-rt} [-\eta_0 U(c, P) + \eta_1 ((1 - u_1 - u_2) F - \mu K) + \eta_2 ((\epsilon - \delta u_2) F - \gamma P)].$$

Введём обозначение:

$$\tilde{\mathcal{H}} = -\eta_0 U(c, P) + \eta_1 ((1 - u_1 - u_2) F - \mu K) + \eta_2 ((\epsilon - \delta u_2) F - \gamma P). \quad (17)$$

В дальнейшем можем рассматривать  $\tilde{\mathcal{H}}$  как функцию Гамильтона—Понтрягина для задачи 15. Чтобы записать сопряжённую систему для новых переменных, воспользуемся равенством:

$$\dot{\eta}_i = \dot{\psi}_i e^{rt} + \psi_i r e^{rt}, \quad i = 1, 2.$$

Вычислим  $\dot{\eta}_1$ :

$$\begin{aligned} \dot{\eta}_1 &= \psi_0 \alpha A u_1 e^{-\alpha u_1 F} F_K - \psi_1 e^{rt} (1 - u_1 - u_2) F_K + \psi_1 e^{rt} \mu - \psi_2 e^{rt} (\epsilon - \delta u_2) F_K + \psi_1 e^{rt} r = \\ &= \eta_0 \alpha A u_1 e^{-\alpha u_1 F} F_K + \eta_1 (\mu + r - (1 - u_1 - u_2) F_K) - \eta_2 (\epsilon - \delta u_2) F_K. \end{aligned}$$

Аналогично вычисляем  $\dot{\eta}_2$ :

$$\dot{\eta}_2 = -\psi_0 \beta B e^{-\beta P} + \psi_2 e^{rt} \gamma + \psi_2 r e^{rt} = -\eta_0 \beta B e^{-\beta P} + \eta_2 (\gamma + r).$$

Теперь сопряжённая система имеет вид:

$$\begin{cases} \dot{\eta}_0 = 0, \\ \dot{\eta}_1 = \eta_0 \alpha A u_1 e^{-\alpha u_1 F} F_K + \eta_1 (\mu + r - (1 - u_1 - u_2) F_K) - \eta_2 (\epsilon - \delta u_2) F_K, \\ \dot{\eta}_2 = -\eta_0 \beta B e^{-\beta P} + \eta_2 (\gamma + r). \end{cases} \quad (18)$$

В нашей задаче  $\mathcal{X}^0 = \{(K^0, P^0)\}$  — одноточечное множество,  $\mathcal{X}^1 = \mathbb{R}^2$ . В конечный момент времени приходим в точку  $(K(T), P(T)) \in \mathcal{X}^1$ . Тогда условие трансверсальности 9 можем переписать в более простой форме:

$$\langle \psi(t_1), (K(T), P(T)) \rangle = 0, \quad \forall (K(T), P(T)) \in \mathcal{X}^1. \quad (19)$$

Воспользуемся условием трансверсальности на правом конце 19. Из него следует, что:

$$\eta_1(T) = \eta_2(T) = 0 \quad (20)$$

Ввиду условия 7 для решения задачи необходимо рассмотреть два случая:  $\eta_0 < 0$  и  $\eta_0 = 0$ .

### 3.1 Нормальный случай

Проанализируем третье уравнение системы 18:

$$\dot{\eta}_2 = -\eta_0 \beta B e^{-\beta P} + \eta_2 (\gamma + r). \quad (21)$$

Здесь параметры  $\beta, B, \gamma, r$  положительны. Таким образом,  $-\eta_0 \beta B e^{-\beta P} = \beta B e^{-\beta P} > 0$  и  $\gamma + r > 0$ . Предположим, что  $\eta_2 \geq 0$ , тогда правая часть уравнения 21 положительна, то есть  $\dot{\eta}_2 > 0$ . Значит  $\eta_2$  монотонно возрастает, но из 20:  $\eta_2(T) = 0$ . Получили противоречие, значит  $\eta_2 \leq 0$  на  $[0, T]$ .

Далее воспользуемся условием максимума 5. Рассмотрим уравнение 17. Нам необходимо максимизировать значение  $\tilde{\mathcal{H}}$  по переменной  $u(\cdot) \in \mathcal{P}$ . Для этого выделим из уравнения 17 слагаемые, содержащие управление:

$$\eta_0 A e^{-\alpha u_1 F} - \eta_1 u_1 F - \eta_1 u_2 F - \eta_2 \delta u_2 F \rightarrow \max.$$

Составим задачу минимизации:

$$\mathcal{G}(u) = -\eta_0 A e^{-\alpha u_1 F} + \eta_1 u_1 F + \eta_1 u_2 F + \eta_2 \delta u_2 F \rightarrow \min_{u=(u_1, u_2)}, \quad (22)$$

$$V = \{u \in \mathbb{R}^2[0, 1] \mid -u_1 \leq 0, -u_2 \leq 0, u_1 + u_2 - 1 \leq 0\}.$$

Решим её с помощью *Теоремы 2*.

Введём функцию Лагранжа, причём  $\lambda_0 = 1$ :

$$L(u) = -\eta_0 A e^{-\alpha u_1 F} + \eta_1 u_1 F + u_2 (\eta_1 F + \delta \eta_2 F) + \lambda_1 (u_1 + u_2 - 1) - \lambda_2 u_1 - \lambda_3 u_2.$$

Здесь  $\lambda_i \geq 0$ ,  $\lambda_i^* g_i = 0$ ,  $i = 1, 2, 3$ .

Ввиду того, что  $g_i = g_i(u(t))$ , то  $\lambda_i = \lambda_i(t)$ . Справедлива следующая система:

$$\begin{cases} \frac{\partial L(u)}{\partial u_1} = \eta_0 \alpha A F e^{-\alpha u_1 F} + \eta_1 F + \lambda_1 - \lambda_2 = 0, \\ \frac{\partial L(u)}{\partial u_2} = \eta_1 F + \delta \eta_2 F + \lambda_1 - \lambda_3 = 0. \end{cases} \quad (23)$$

Рассмотрим случаи для всевозможных значений  $\lambda_i$ ,  $i = 1, 2, 3$ . Причём зависимость  $\lambda_i$  от времени не влияет на решение, так как в представленных ниже случаях либо  $\lambda_i = 0$ , либо  $\lambda_i \neq 0$ , и тогда для поиска управления используется условие дополняющей нежёсткости 14.

### 3.1.1 Случай 1: $\lambda_1 = \lambda_2 = \lambda_3 = 0$

Пусть  $\lambda_1 = \lambda_2 = \lambda_3 = 0$ . Тогда, подставив эти значения в 23, получим:

$$\frac{\partial L(u)}{\partial u_1} = \eta_0 \alpha A F e^{-\alpha u_1 F} + \eta_1 F = 0.$$

Так как  $Y = F(K, L)$  — объём продукции, можно считать, что  $F(K, L) > 0 \quad \forall (K, L)$ . Тогда разделим обе части уравнения на  $F$ :

$$\eta_0 \alpha A F e^{-\alpha u_1 F} = -\eta_1.$$

Теперь рассмотрим второе уравнение системы 23:

$$\frac{\partial L(u)}{\partial u_2} = \eta_1 F + \delta \eta_2 F = 0.$$

Аналогично разделим обе части уравнения на  $F > 0$ :

$$\eta_1 + \delta \eta_2 = 0$$

Итак, получим систему:

$$\begin{cases} \eta_0 \alpha A F e^{-\alpha u_1 F} = -\eta_1, \\ \eta_1 + \delta \eta_2 = 0. \end{cases} \quad (24)$$

Из первого уравнения системы 24 можем выразить  $u_1$ :

$$\begin{aligned} e^{-\alpha u_1 F} &= -\frac{\eta_1}{\alpha A \eta_0}, \\ -\alpha u_1 F &= \ln \left( -\frac{\eta_1}{\alpha A \eta_0} \right), \\ u_1 &= -\frac{1}{\alpha F} \ln \left( -\frac{\eta_1}{\alpha A \eta_0} \right). \end{aligned} \quad (25)$$

Однако  $u_2$  не определяется из системы 24, то есть  $u_2 \in [0, 1]$ . Значит возможен особый режим. Рассмотрим второе уравнение системы 24:

$$\begin{aligned} \eta_1 + \delta \eta_2 &= 0 \quad \left| \frac{d}{dt}, \right. \\ \dot{\eta}_1 + \delta \dot{\eta}_2 &= 0. \end{aligned}$$

Подставим сюда значения из 18:

$$\eta_0 \alpha A u_1 e^{-\alpha u_1 F} F_K + \eta_1 (\mu + r - (1 - u_1 - u_2) F_K) - \eta_2 (\epsilon - \delta u_2) F_K - \eta_0 \delta \beta B e^{-\beta P} + \delta \eta_2 (\gamma + r) = 0,$$

$$\eta_0 \alpha A u_1 e^{-\alpha u_1 F} F_K + \eta_1 \mu - \eta_1 F_K + u_1 \eta_1 F_K - \eta_2 \epsilon F_K - \eta_0 \delta \beta B e^{-\beta P} + \delta \eta_2 \gamma + r (\eta_1 + \delta \eta_2) + u_2 F_K (\eta_1 + \delta \eta_2) = 0.$$

Ввиду второго уравнения системы 24 получим:

$$\eta_0 \alpha A u_1 e^{-\alpha u_1 F} F_K + \eta_1 \mu - \eta_1 F_K + u_1 \eta_1 F_K - \eta_2 \epsilon F_K - \eta_0 \delta \beta B e^{-\beta P} + \delta \eta_2 \gamma = 0.$$

Видно, что даже из этого уравнения не можем найти зависимость для  $u_2$ . Тогда приведём этот случай к противоречию. Подставим в уравнение  $\eta_1 = -\delta \eta_2$ :

$$\begin{aligned} \eta_0 \alpha A u_1 e^{-\alpha u_1 F} F_K - \eta_0 \delta \beta B e^{-\beta P} - \eta_2 (\delta \mu - \delta F_K + \delta u_1 F_K + \epsilon F_K - \delta \gamma) &= 0, \\ u_1 F_K (\eta_0 \alpha A u_1 e^{-\alpha u_1 F} - \eta_2 \delta) - \eta_0 \delta \beta B e^{-\beta P} + \eta_2 \delta (\gamma - \mu) + \eta_2 F_K (\delta - \epsilon) &= 0. \end{aligned} \quad (26)$$

Подстановкой  $\eta_1 = -\delta \eta_2$  в первое уравнение системы 24 получим:

$$\eta_0 \alpha A u_1 e^{-\alpha u_1 F} - \eta_2 \delta = 0.$$

Тогда 26 преобразуется к виду:

$$-\eta_0 \delta \beta B e^{-\beta P} + \eta_2 \delta (\gamma - \mu) + \eta_2 F_K (\delta - \epsilon) = 0.$$

Так как хотим прийти к противоречию, введём ограничения на параметры системы:

$$\gamma < \mu. \quad (27)$$

$$\epsilon > \delta. \quad (28)$$

Так как  $\delta > 1$  получим из 28, что  $\epsilon > 1$ . Это означает, что в нашей задаче объём загрязнений превышает объём производства.

Ввиду того, что  $-\eta_0 \delta \beta B e^{-\beta P} > 0$ ,  $\delta (\gamma - \mu) < 0$ ,  $F_K (\delta - \epsilon) < 0$ , а  $\eta_2 < 0$  на  $(0, T)$  получим, что:

$$\delta \beta B e^{-\beta P} + \eta_2 \delta (\gamma - \mu) + \eta_2 F_K (\delta - \epsilon) > 0.$$

Получили противоречие. Значит можем не рассматривать этот случай.

### 3.1.2 Случай 2: $\lambda_1 = \lambda_2 = 0$ , $\lambda_3 \neq 0$

Пусть теперь  $\lambda_1 = \lambda_2 = 0$ ,  $\lambda_3 \neq 0$ . Тогда ввиду условия дополняющей нежёсткости 14 получим:

$$u_2 = 0.$$

Подставим значения  $\lambda_i$ ,  $u_2$  в 23:

$$\begin{cases} \frac{\partial L(u)}{\partial u_1} = \eta_0 \alpha A F e^{-\alpha u_1 F} + \eta_1 F = 0, \\ \frac{\partial L(u)}{\partial u_2} = \eta_1 F + \delta \eta_2 F - \lambda_3 = 0. \end{cases}$$

Из первого уравнения аналогично предыдущему случаю найдём  $u_1$ :

$$u_1 = -\frac{1}{\alpha F} \ln \left( -\frac{\eta_1}{\alpha A \eta_0} \right).$$

Явно нашли обе составляющие управления, значит они могут быть оптимальными:

$$\begin{cases} u_1^* = -\frac{1}{\alpha F} \ln \left( -\frac{\eta_1}{\alpha A \eta_0} \right), \\ u_2^* = 0. \end{cases} \quad (29)$$

Так как по условию задачи  $0 < u_1^* < 0$ , получим:

$$\alpha A < \frac{\eta_1}{\eta_0} < \alpha A e^{\alpha F}. \quad (30)$$

В дальнейшем, при реализации алгоритма для решения задачи, чтобы использовать условие максимума 5, необходимо сравнивать значения функционала  $\mathcal{G}(u)$  в различных случаях. Для этого введём дополнительные обозначения:



$$\mathcal{G}_1 = \frac{\eta_1}{\alpha} + \eta_1 u_1^* F + \eta_1 u_2^* F + \eta_2 \delta u_2^* F = \frac{\eta_1}{\alpha} \left( 1 - \frac{1}{F} \ln \left( -\frac{\eta_1}{\alpha A \eta_0} \right) \right) \quad (31)$$

— значение функционала  $\mathcal{G}(u)$  из 22 при подстановке значений из системы 29.

### 3.1.3 Случай 3: $\lambda_3 = \lambda_2 = 0$ , $\lambda_1 \neq 0$

Пусть теперь  $\lambda_3 = \lambda_2 = 0$ ,  $\lambda_1 \neq 0$ . Тогда ввиду условия дополняющей нежёсткости 14 получим:

$$u_1 + u_2 = 1.$$

Подставим значения  $\lambda_i$  в 23:

$$\begin{cases} \frac{\partial L(u)}{\partial u_1} = \eta_0 \alpha A F e^{-\alpha u_1 F} + \eta_1 F + \lambda_1 = 0, \\ \frac{\partial L(u)}{\partial u_2} = \eta_1 F + \delta \eta_2 F + \lambda_1 = 0. \end{cases} \quad (32)$$

Вычтем из первого уравнения системы 45 второе:

$$\eta_0 \alpha A F e^{-\alpha u_1 F} + \lambda_1 + \eta_1 F - \eta_1 F - \delta \eta_2 F - \lambda_1 = 0,$$

$$\eta_0 \alpha A F e^{-\alpha u_1 F} = \delta \eta_2 F,$$

$$e^{-\alpha u_1 F} = \frac{\delta \eta_2}{\alpha A \eta_0},$$

$$u_1 = -\frac{1}{\alpha F} \ln \left( \frac{\delta \eta_2}{\alpha A \eta_0} \right).$$

Таким образом, нашли  $u_1$ . Выразим  $u_2$  из уравнения  $u_1 + u_2 = 1$ :

$$u_2 = 1 + \frac{1}{\alpha F} \ln \left( \frac{\delta \eta_2}{\alpha A \eta_0} \right).$$

Явно нашли обе составляющие управления, значит они могут быть оптимальными:

$$\begin{cases} u_1^* = -\frac{1}{\alpha F} \ln \left( \frac{\delta \eta_2}{\alpha A \eta_0} \right), \\ u_2^* = 1 + \frac{1}{\alpha F} \ln \left( \frac{\delta \eta_2}{\alpha A \eta_0} \right). \end{cases} \quad (33)$$

Ввиду условия  $0 < u_1 < 1$  получим:

$$\frac{\alpha A e^{\alpha A}}{\delta} < \frac{\eta_2}{\eta_0} < \frac{\alpha A}{\delta}. \quad (34)$$

Аналогично 3.1.2 введём обозначение:

$$\mathcal{G}_2 = -\frac{\delta \eta_2}{\alpha} + \eta_1 u_1^* F + \eta_1 u_2^* F + \eta_2 \delta u_2^* F = \frac{\delta \eta_2}{\alpha} \left( \ln \left( \frac{\delta \eta_2}{\eta_0 \alpha A} \right) - 1 \right) + F (\eta_1 + \delta \eta_2). \quad (35)$$

— значение функционала  $\mathcal{G}(u)$  из 22 при подстановке значений из системы 33.

### 3.1.4 Случай 4: $\lambda_1 = 0, \lambda_2 \neq 0, \lambda_3 \neq 0$

Пусть теперь  $\lambda_1 = 0, \lambda_2 \neq 0, \lambda_3 \neq 0$ . Тогда ввиду условия дополняющей нежёсткости 14 получим:

$$u_1^* = 0, \quad u_2^* = 0$$

С точки зрения экономического смысла задачи этот случай не очень интересен, однако рассмотрим его подробнее. Знаем обе компоненты управления и можем подставить их в начальную задачу 15:

$$\begin{cases} \dot{K} = K^\ell L^{1-\ell} - \mu K, \\ \dot{P} = \epsilon K^\ell L^{1-\ell} - \gamma P. \end{cases} \quad (36)$$

Ниже представлен пример решения данной системы в среде MatLab при разных значениях параметров системы. Аналогично 3.1.2 введём обозначение:

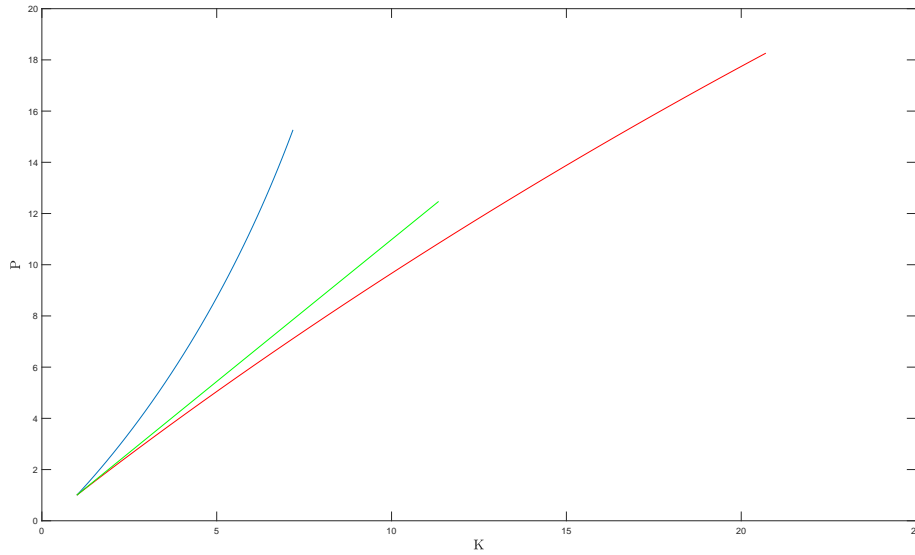


Рис. 1: Траектории при различных значениях параметров

$$\mathcal{G}_3 = -\eta_0 A. \quad (37)$$

### 3.2 Случай 5: $\lambda_2 = 0, \lambda_1 \neq 0, \lambda_3 \neq 0$

Пусть теперь  $\lambda_2 = 0, \lambda_1 \neq 0, \lambda_3 \neq 0$ . Тогда ввиду условия дополняющей нежёсткости 14 получим:

$$u_1 + u_2 = 1, \quad u_2 = 0.$$

Отсюда сразу можно выразить управление:

$$u_1^* = 1, \quad u_2^* = 0.$$

Знаем обе компоненты управления и можем подставить их в начальную задачу 15:

$$\begin{cases} \dot{K} = -\mu K, \\ \dot{P} = \epsilon K^\ell L^{1-\ell} - \gamma P. \end{cases} \quad (38)$$

Сразу можно сказать, что объём производственных фондов уменьшается. Ниже представлен пример решения данной системы в среде MatLab при разных значениях параметров системы.

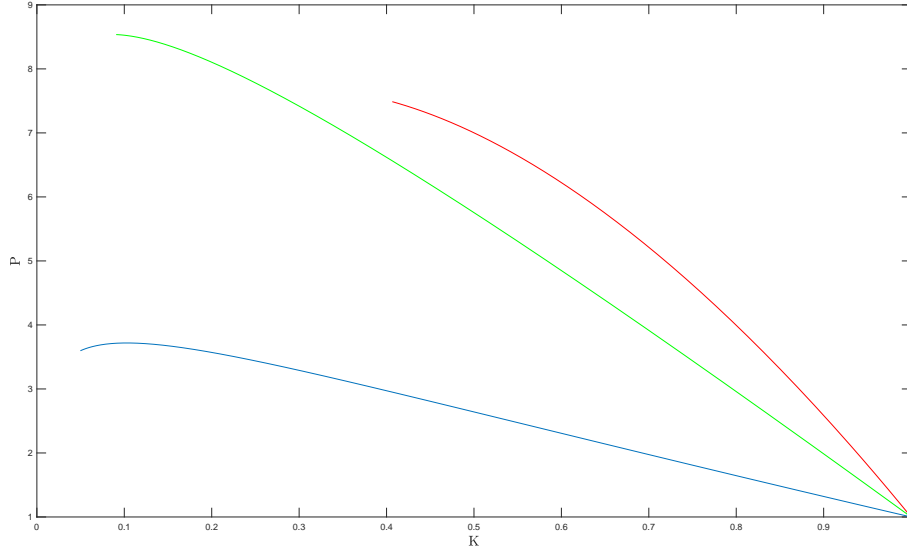


Рис. 2: Трактории при различных значениях параметров

Аналогично 3.1.2 введём обозначение:

$$\mathcal{G}_4 = -\eta_0 A e^{-\alpha F} + \eta_1 F. \quad (39)$$

### 3.2.1 Случай 6: $\lambda_3 = 0, \lambda_1 \neq 0, \lambda_2 \neq 0$

Пусть теперь  $\lambda_3 = 0, \lambda_1 \neq 0, \lambda_2 \neq 0$ . Тогда ввиду условия дополняющей нежёсткости 14 получим:

$$u_1 = 0, \quad u_1 + u_2 = 1.$$

Отсюда сразу можно выразить управление:

$$u_1^* = 0, \quad u_2^* = 1.$$

Знаем обе компоненты управления и можем подставить их в начальную задачу 15:

$$\begin{cases} \dot{K} = -\mu K, \\ \dot{P} = (\epsilon - \delta) K^\ell L^{1-\ell} - \gamma P. \end{cases} \quad (40)$$

Сразу можно сказать, что объём производственных фондов уменьшается. Ниже представлен пример решения данной системы в среде MatLab при разных значениях параметров системы.

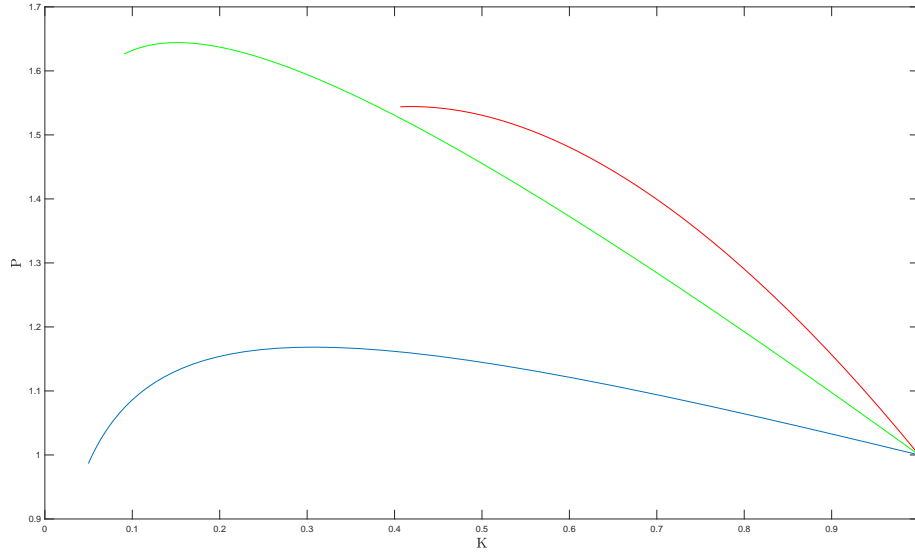


Рис. 3: Траектории при различных значениях параметров

Аналогично 3.1.2 введём обозначение:

$$\mathcal{G}_5 = -\eta_0 A + \eta_1 F + \eta_2 \delta F. \quad (41)$$

### 3.2.2 Случай 7: $\lambda_1 \neq 0, \lambda_2 \neq 0, \lambda_3 \neq 0$

Пусть теперь  $\lambda_1 \neq 0, \lambda_2 \neq 0, \lambda_3 \neq 0$ . Тогда ввиду условия дополняющей нежёсткости 14 получим:

$$\begin{cases} u_1 = 0, \\ u_2 = 0, \\ u_1 + u_2 = 1. \end{cases}$$

Система не имеет решений, значит этот случай рассматривать не нужно.

### 3.2.3 Случай 8: $\lambda_1 = \lambda_3 = 0, \lambda_2 \neq 0$

Теперь пусть  $\lambda_1 = \lambda_3 = 0, \lambda_2 \neq 0$ . Тогда ввиду условия дополняющей нежёсткости 14 получим:

$$u_1 = 0$$

Подставим значения  $\lambda_i, u_1$  в 23:

$$\begin{cases} \frac{\partial L(u)}{\partial u_1} = \eta_0 \alpha A F + \eta_1 F - \lambda_2 = 0, \\ \frac{\partial L(u)}{\partial u_2} = \eta_1 F + \delta \eta_2 F = 0. \end{cases} \quad (42)$$

Из этой системы не можем выразить  $u_2$ . Рассмотрим  $\mathcal{G}(0, u_2)$ :

$$\mathcal{G}(0, u_2) = -\eta_0 A + u_2 F (\eta_1 + \delta \eta_2).$$

Так как мы минимизируем это выражение,  $u_2$  принимает следующие значения:

$$u_2 = \begin{cases} 0, & \eta_1 + \delta\eta_2 > 0, \\ 1, & \eta_1 + \delta\eta_2 < 0, \\ [0, 1], & \eta_1 + \delta\eta_2 = 0. \end{cases} \quad (43)$$

Возможен ли особый режим при  $\eta_1 + \delta\eta_2 = 0$ ? Аналогично *Случаю 3.1.1* при таких же ограничениях получим противоречие. Значит особого режима нет. Рассмотрим оставшиеся ситуации:

$$\begin{cases} u_1^* = 0, \\ u_2^* = 0, \end{cases} \quad \eta_1 + \delta\eta_2 > 0.$$

Заметим, что это частный случай 3.1.4, значит отдельно его рассматривать не нужно.

$$\begin{cases} u_1^* = 0, \\ u_2^* = 1, \end{cases} \quad \eta_1 + \delta\eta_2 < 0.$$

Заметим, что это частный случай 3.2.1, значит отдельно его рассматривать не нужно. Итак, получили что случай 3.2.3 можно исключить.

### 3.3 Анормальный случай

Пусть теперь  $\eta_0 = 0$ . Вспомним, что из условия трансверсальности получили выражение 20. Тогда в конечный момент времени:

$$\eta_0(T) = \eta_1(T) = \eta_2(T) = 0.$$

Значит  $\bar{\eta}(T) = 0$ , что противоречит условию *Теоремы 1*. Таким образом, этот случай можно исключить.

### 3.4 Алгоритм решения задачи

Вспомним все рассмотренные выше случаи:

$$\begin{cases} u_1^* = -\frac{1}{\alpha F} \ln \left( -\frac{\eta_1}{\alpha A \eta_0} \right), \\ u_2^* = 0, \end{cases} \quad \mathcal{G}_1 = \frac{\eta_1}{\alpha} \left( 1 - \frac{1}{F} \ln \left( -\frac{\eta_1}{\alpha A \eta_0} \right) \right). \quad (44)$$

$$\alpha A < \frac{\eta_1}{\eta_0} < \alpha A e^{\alpha F}.$$

$$\begin{cases} u_1^* = -\frac{1}{\alpha F} \ln \left( \frac{\delta\eta_2}{\alpha A \eta_0} \right), \\ u_2^* = 1 + \frac{1}{\alpha F} \ln \left( \frac{\delta\eta_2}{\alpha A \eta_0} \right), \end{cases} \quad \mathcal{G}_2 = \frac{\delta\eta_2}{\alpha} \left( \ln \left( \frac{\delta\eta_2}{\eta_0 \alpha A} \right) - 1 \right) + F(\eta_1 + \delta\eta_2). \quad (45)$$

$$\frac{\alpha A e^{\alpha A}}{\delta} < \frac{\eta_2}{\eta_0} < \frac{\alpha A}{\delta}.$$

$$\begin{cases} u_1^* = 0, \\ u_2^* = 0, \end{cases} \quad \mathcal{G}_3 = -\eta_0 A. \quad (46)$$

$$\begin{cases} u_1^* = 1, \\ u_2^* = 0, \end{cases} \quad \mathcal{G}_4 = -\eta_0 A e^{-\alpha F} + \eta_1 F. \quad (47)$$

$$\begin{cases} u_1^* = 0, \\ u_2^* = 1, \end{cases} \quad \mathcal{G}_5 = -\eta_0 A + \eta_1 F + \eta_2 \delta F. \quad (48)$$

Необходимо решить следующую краевую задачу:

$$\begin{cases} \dot{K} = (1 - u_1 - u_2) F(K, L) - \mu K, & K(0) = K^0, \\ \dot{P} = (\epsilon - \delta u_2) F(K, L) - \gamma P, & P(0) = P^0, \\ \dot{\eta}_1 = -\alpha A u_1 e^{-\alpha u_1 F} F_K + \eta_1 (\mu + r - (1 - u_1 - u_2) F_K) - \eta_2 (\epsilon - \delta u_2) F_K, & \eta_1(T) = 0, \\ \dot{\eta}_2 = \beta B e^{-\beta P} + \eta_2 (\gamma + r), & \eta_2(T) = 0. \end{cases} \quad (49)$$

Будем использовать перебор по переменным  $\eta_0(0), \eta_1(0), \eta_2(0) \leq 0$  по единичной сфере:

$$\eta_0(0) = \cos \vartheta, \quad \eta_1(0) = \sin \vartheta \cdot \cos \phi, \quad \eta_2(0) = \sin \vartheta \cdot \sin \phi, \quad (50)$$

$$\phi \in (-\pi, 0), \quad \vartheta \in \left(\frac{\pi}{2}, \pi\right).$$

Теперь можем решать краевую задачу вида:

$$\begin{cases} \dot{K} = (1 - u_1 - u_2) F(K, L) - \mu K, & K(0) = K^0, \\ \dot{P} = (\epsilon - \delta u_2) F(K, L) - \gamma P, & P(0) = P^0, \\ \dot{\eta}_1 = -\alpha A u_1 e^{-\alpha u_1 F} F_K + \eta_1 (\mu + r - (1 - u_1 - u_2) F_K) - \eta_2 (\epsilon - \delta u_2) F_K, & \eta_1(0) = \eta_1^0, \\ \dot{\eta}_2 = \beta B e^{-\beta P} + \eta_2 (\gamma + r), & \eta_2(0) = \eta_2^0. \end{cases} \quad (51)$$

Так же введём перебор по времени переключений:

$$\{t_i\} : 0 = t_0 < t_1 < \dots < t_{n-1} < t_n = T$$

Важно отметить, что  $P_0 = \epsilon F(K_0, L)$  ввиду интерпретации заданных параметров.

Теперь, предполагаем, что на  $i$ -й итерации вычислили  $K^i, P^i, \eta_1^i, \eta_2^i$ . Подстановкой значений  $\eta_1^i, \eta_2^i, F(K^i, L)$  можем определить значения  $\mathcal{G}_1, \mathcal{G}_2, \mathcal{G}_3, \mathcal{G}_4, \mathcal{G}_5$ . Далее среди  $\mathcal{G}_j \forall j \in [1, 5]$  найдём минимальное значение и выбираем среди 44–48 значения  $u_1^i, u_2^i$ , соответствующие  $\mathcal{G}_j$ . Для большей точности вычислений добавим в систему уравнение для вычисления функционала качества. Теперь можем решить задачу 51:

$$\begin{cases} \dot{K}^{i+1} = (1 - u_1^i - u_2^i) F(K^{i+1}, L) - \mu K^{i+1}, & K^{i+1}(t_i) = K^i, \\ \dot{P}^{i+1} = (\epsilon - \delta u_2^i) F(K^{i+1}, L) - \gamma P^{i+1}, & P^{i+1}(t_i) = P^i, \\ \dot{\eta}_1^{i+1} = -\alpha A u_1^i e^{-\alpha u_1^i F(K^{i+1}, L)} F_K(K^{i+1}, L) + \eta_1^{i+1} (\mu + r - (1 - u_1^i - u_2^i) F_K(K^{i+1}, L)) - \\ \quad - \eta_2^{i+1} (\epsilon - \delta u_2^i) F_K(K^{i+1}, L), & \eta_1^{i+1}(t_i) = \eta_1^i, \\ \dot{\eta}_2^{i+1} = \beta B e^{-\beta P^{i+1}} + \eta_2^{i+1} (\gamma + r), & \eta_2^{i+1}(t_i) = \eta_2^i, \\ \dot{\mathcal{J}}^{i+1} = U(c, P) e^{-rt}. \end{cases} \quad (52)$$

Отсюда нашли  $K^{i+1}, P^{i+1}, \eta_1^{i+1}, \eta_2^{i+1}$ . Каждый раз необходимо проверять, что  $K^{i+1} \geq 0, P^{i+1} \geq 0$ .

Выполнив такой алгоритм для всех  $i \in [0, n-1]$ , найдём векторы  $\bar{K} = (K^0, \dots, K^n)$ ,  $\bar{P} = (P^0, \dots, P^n)$ . Так же из системы вычислим значение функционала качества  $\mathcal{J}^* = \mathcal{J}^n$  для каждой такой траектории. Таким образом, перебором по  $\eta_1(0), \eta_2(0)$  найдём все субоптимальные траектории. Оптимальной будем считать ту траекторию, у которой значение функционала качества наибольшее.

Погрешность  $r^*$  вычисляем как норму конечной координаты вектора сопряжённых переменных  $\eta_1^n, \eta_2^n$ .

## 4 Примеры работы алгоритма

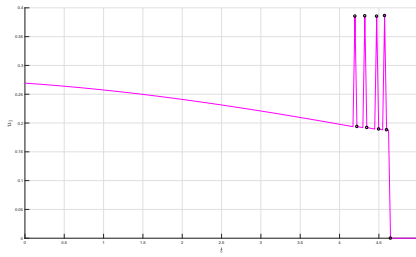
### 4.1 Пример 1

Решим задачу, используя следующие параметры:

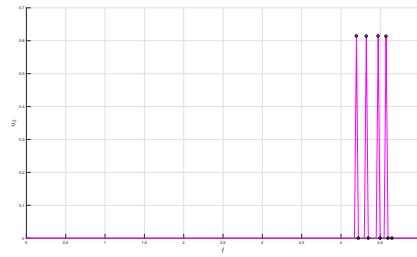
$$L = 50, \quad \lambda = 0.6, \quad \mu = 0.8, \quad \epsilon = 1.5, \quad \delta = 1.4, \quad \gamma = 0.3,$$

$$r = 0.08, \quad A = 3, \quad B = 1, \quad C = 1, \quad \alpha = 0.5, \quad \beta = 1.5$$

$$T = 5, \quad K_0 = 50.$$



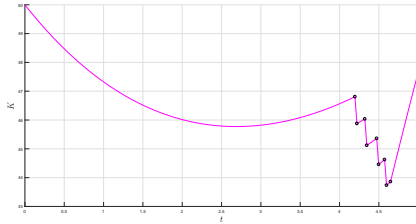
(a) График  $u_1(t)$



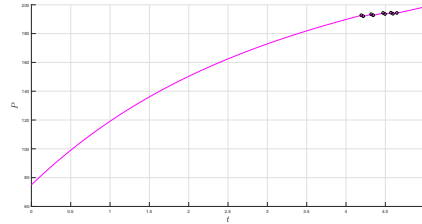
(b) График  $u_2(t)$

Рис. 4: Графики управления

Из Рис. 4а видим, что доля продукции, выделяемая на потребление постепенно уменьшается до некоторого момента, после чего выделение продукции резко возрастает и уменьшается несколько раз, после чего продукция на потребление вообще перестаёт выделяться. Посмотрев на Рис. 4б, можем сказать, что продукция на загрязнение практически не выделялась как раз до момента переключения  $u_1(t)$ . Аналогично происходит резкое уменьшение и увеличение выделяемой продукции.



(a) График  $K(t)$

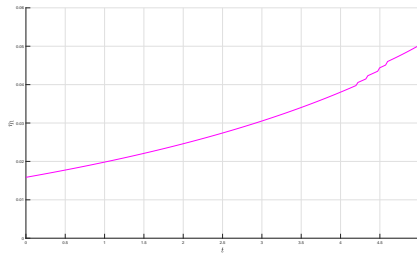


(b) График  $P(t)$

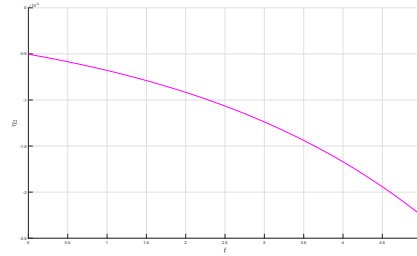
Рис. 5: Графики объёма производственных фондов и загрязнений

Глядя на Рис. 5б, можно однозначно сказать, что объём загрязнений увеличится, это естественно, так как на борьбу с загрязнениями практически не выделялась продукция. По Рис. 5а можно сказать, что после переключений, то есть начала выделения продукции на борьбу с загрязнениями, объём производственных фондов начинает увеличиваться.

Ниже представим графики зависимости сопряжённых переменных от времени.



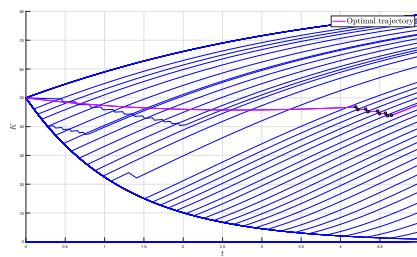
(a) График  $\eta_1(t)$



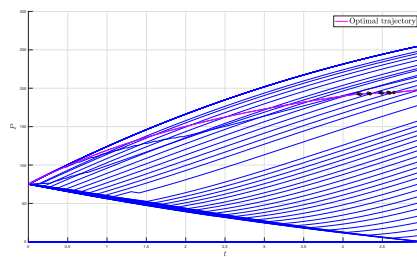
(b) График  $\eta_2(t)$

Рис. 6: Графики зависимости вектора сопряжённых переменных от времени

На графиках ниже рассмотрим все субоптимальные траектории объёма производственных фондов и загрязнений.



(a) График  $K(t)$



(b) График  $P(t)$

Рис. 7: Все траектории объёма производственных фондов и загрязнений

Можно заметить, что в оптимальной стратегии объём производственных фондов принимает среднее значение среди всех возможных. Также для оптимальности нет необходимости уменьшать объём загрязнений.

Далее рассмотрим оставшиеся графики со всеми траекториями.



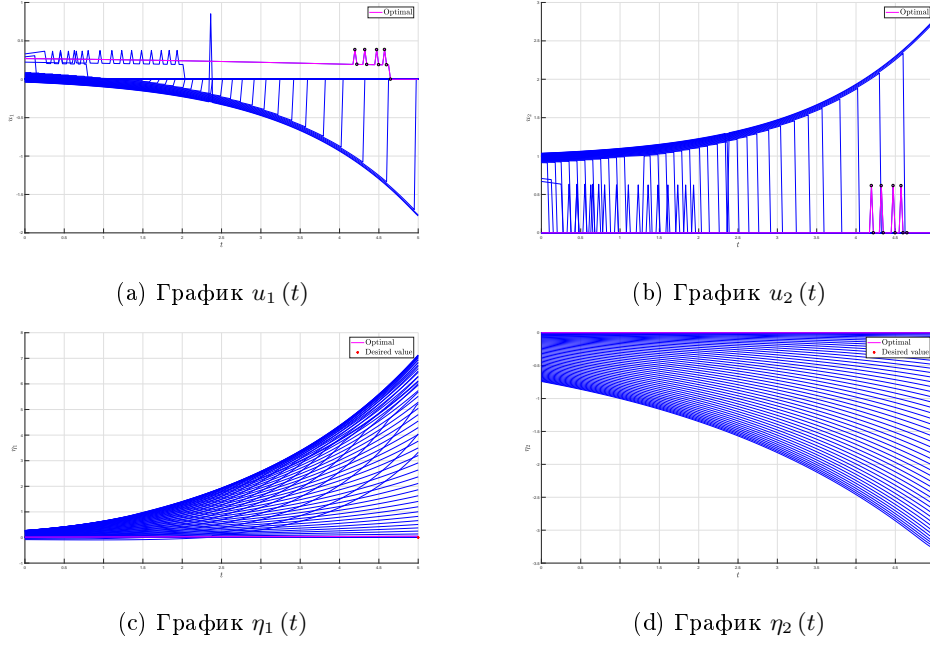


Рис. 8: Графики субоптимальных траекторий

В данном примере получили  $\mathcal{J}^* = 7.1107$  и погрешность  $r = 0.0503$ .

## 4.2 Пример 2

Далее рассмотрим пример, в котором нет переключений. Решаем задачу, используя следующие значения параметров:

$$\begin{aligned}
 L = 20, \quad \lambda = 0.5, \quad \mu = 0.2, \quad \epsilon = 1.3, \quad \delta = 1.2, \quad \gamma = 0.1, \\
 r = 0.2, \quad A = 3, \quad B = 1, \quad C = 1, \quad \alpha = 0.5, \quad \beta = 1.5 \\
 T = 5, \quad K_0 = 30.
 \end{aligned}$$

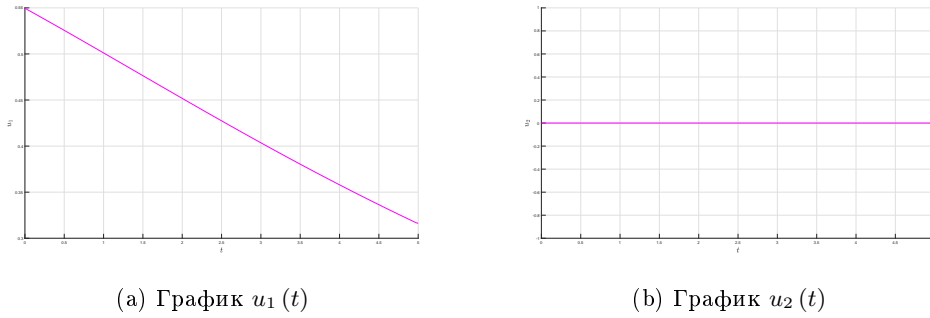
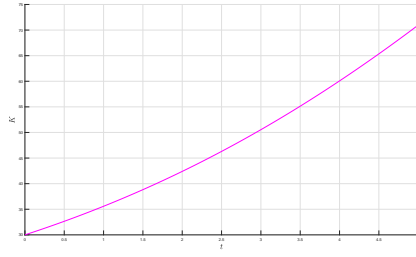
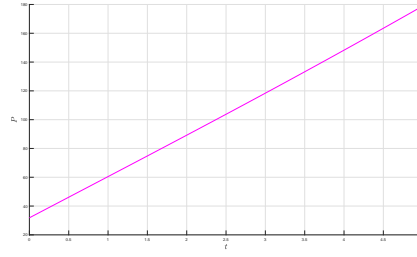


Рис. 9: Графики управления

Из Рис. 9а видим, что доля продукции, выделяемая на потребление монотонно уменьшается. Из Рис. 9б можно сделать вывод, что на борьбу с загрязнениями продукция не выделяется.



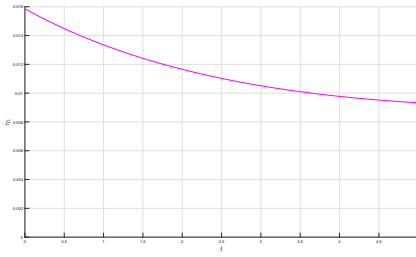
(a) График  $K(t)$



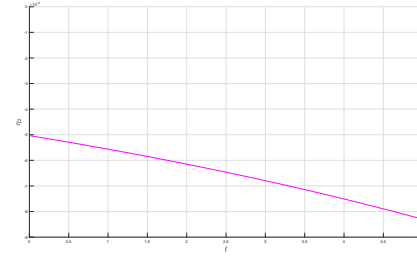
(b) График  $P(t)$

Рис. 10: Графики объёма производственных фондов и загрязнений

Видим, что в оптимальной стратегии как объём производственных фондов, так и объём загрязнений монотонно возрастает. Ниже представим графики зависимости сопряжённых переменных от времени.



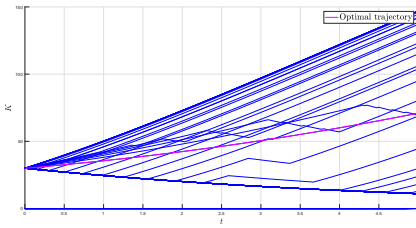
(a) График  $\eta_1(t)$



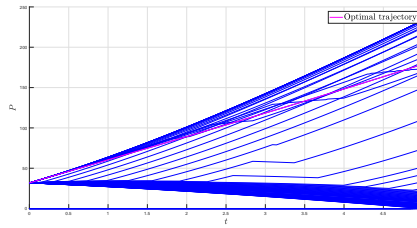
(b) График  $\eta_2(t)$

Рис. 11: Графики зависимости вектора сопряжённых переменных от времени

На графиках ниже рассмотрим все субоптимальные траектории объёма производственных фондов и загрязнений.



(a) График  $K(t)$

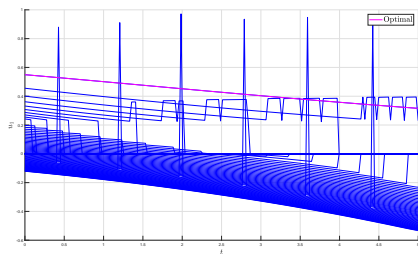


(b) График  $P(t)$

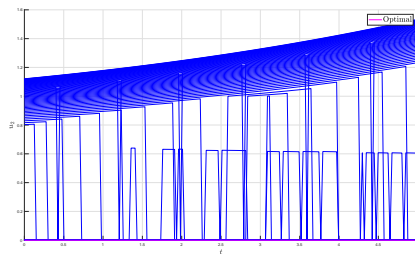
Рис. 12: Все траектории объёма производственных фондов и загрязнений

Из Рис. 12а, 12б видно, что для оптимальности необходим небольшой рост объёма производственных фондов и загрязнений.

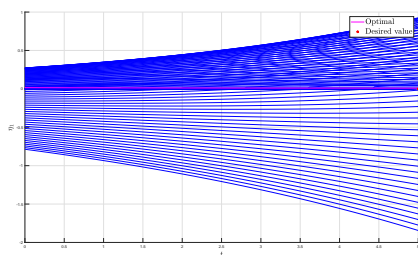
Далее рассмотрим оставшиеся графики со всеми траекториями.



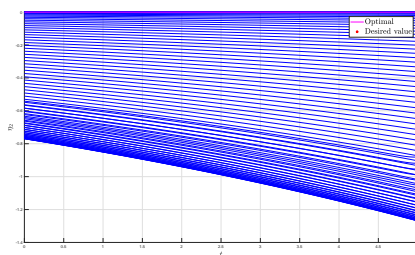
(a) График  $u_1(t)$



(b) График  $u_2(t)$



(c) График  $\eta_1(t)$



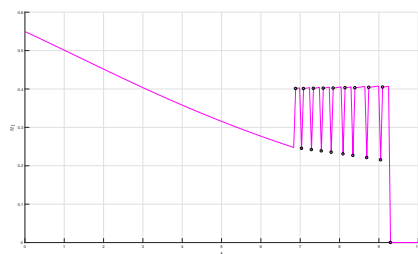
(d) График  $\eta_2(t)$

Рис. 13: Графики субоптимальных траекторий

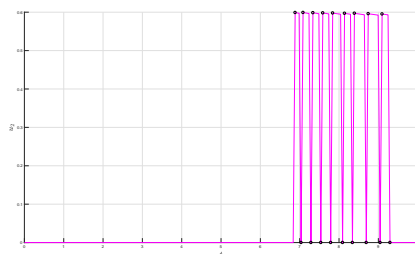
В данном примере получили  $\mathcal{J}^* = 2.9694$  и погрешность  $r = 0.0094$ .

### 4.3 Пример 3

Теперь рассмотрим *Пример 4.2*, но увеличим время  $T = 10$ .



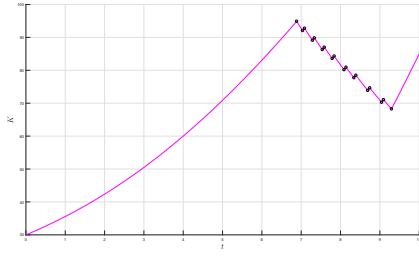
(a) График  $u_1(t)$



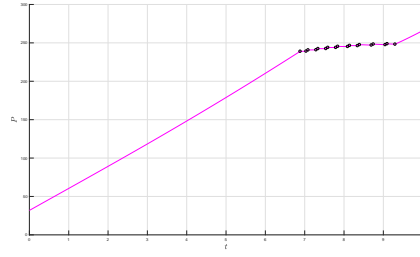
(b) График  $u_2(t)$

Рис. 14: Графики управления

В отличие от *Рис. 9а, 9б* появились переключения в моменты времени  $t \in (6.4, 9.2)$ .



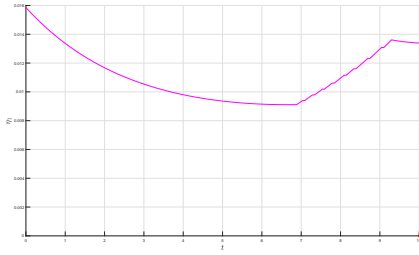
(a) График  $K(t)$



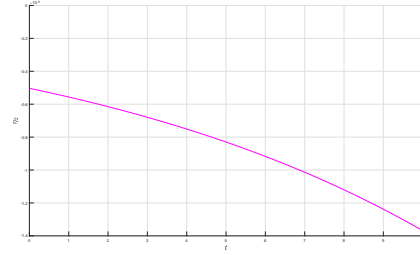
(b) График  $P(t)$

Рис. 15: Графики объёма производственных фондов и загрязнений

Полученные выше графики подтверждают результаты, полученные на Рис. 14а, 14б. Ниже представим графики зависимости сопряжённых переменных от времени.



(a) График  $\eta_1(t)$



(b) График  $\eta_2(t)$

Рис. 16: Графики зависимости вектора сопряжённых переменных от времени

В данном примере получили  $\mathcal{J}^* = 3.7453$  и погрешность  $r = 0.0135$ .

## Список литературы

- [1] [https://sawiki.cs.msu.ru/index.php/Опорная\\_функция\\_множества](https://sawiki.cs.msu.ru/index.php/Опорная_функция_множества).
- [2] Арутюнов А. В. *Лекции по выпуклому и многозначному анализу*. ФИЗМАТ-ЛИТ, 2014.
- [3] Артемьева Л. А. *Лекции по методам оптимизации*, 2024.
- [4] Чистяков И. А. *Лекции по оптимальному управлению*, 2024.